

热处理手册

第2版
第4卷

机械工业出版社

热 处 理 手 册

第 2 版

第4卷 热处理质量控制与检验方法

中国机械工程学会热处理专业学会
《热处理手册》编委会编



机 械 工 业 出 版 社

(京)新登字054号

《热处理手册》是一部综合性工具书。本版为第2版，共四卷。第1卷为工艺基础；第2卷为典型零件的热处理；第3卷为热处理设备；第4卷为热处理质量控制与检验方法。

本书为第4卷，共十章及一个附录。内容包括金属材料化学成分检验、宏观组织检验及断口分析、显微组织分析、力学性能试验、无损检验、内应力的测定、相分析及相变过程试验、金属腐蚀试验、热处理质量管理与控制、常用数据和法定计量单位及常用物理量的法定计量单位等。

本书可供热处理工程技术人员和车间班组使用，也可供高校和中专金属材料及热处理专业师生参考。

热 处 理 手 册

第2版

第4卷 热处理质量控制与检验方法

中国机械工程学会热处理专业学会

《热处理手册》编委会编

*

责任编辑：丁文华 韩会民 责任校对：刘志文

封面设计：刘代 版式设计：冉晓华

责任印制：王国光

*

机械工业出版社出版(北京阜成门外百万庄南街一号)

(北京市书刊出版业营业许可证出字第117号)

人民交通出版社印刷厂印刷

新华书店北京发行所发行·新华书店经售

*

开本 787×1092¹/16 · 印张40¹/4 · 插页2 · 字数986千字

1978年10月北京第1版

1992年10月北京第2版 · 1992年10月北京第3次印刷

印数 70 701—75 600 · 定价30.00元

*

ISBN 7-111-03174-1/TG·699

中国机械工程学会热处理专业学会 《热处理手册》第二版编委会名单

顾 问 **周志宏 周惠久**

主任委员 孙大涌

副主任委员 雷廷权 章守华 樊东黎

委员 孙大涌 雷廷权 章守华 樊东黎 于恒 朱沅浦 裴漫 刘迨
邓洋 戚正风 宋余九 侯增寿 徐佐仁 丁文华 郎振声 沈百全
许长生

《热处理手册》总主编
朱沅浦 侯增寿 邹康宏

本卷主编 宋余九 苟毓闽

序

热处理是机械制造工业中关键工艺之一，对发挥材料潜力，节约用材，延长机器零件使用寿命起着重要的作用，为了促进技术交流，推广先进经验，指导正确的工艺操作，1972年由原一机部机械研究院组织国内有热处理专业的院校教师、研究所和部分企业的有经验的技术人员，共同编写了《热处理手册》，出版后曾两次印刷，深受广大读者欢迎。

但是，第一版《热处理手册》从编写至今已逾十年，这十多年里国内外热处理技术发展很快，我国自改革、开放以后，又引进了许多先进技术及装备。在这种情况下，如不对《热处理手册》进行修订，将不能满足生产和技术发展的要求，起不到工具书的作用。有鉴于此，机械工业出版社会同中国机械工程学会热处理专业学会负责组织国内专家、学者按照实用性、可靠性、先进性、科学性的原则，从速改写、修订，达到能正确指导生产，促进技术进步的作用。

此次改写虽与第一版有一定的继承性，但在内容上根据近年来国内外在热处理技术上的发展状况，结合我国企业应用的现状，作了切合实际的介绍，增加了较多的新内容。一些参数大多来自工厂和科研单位的实用数据，是比较可靠的，对于一些过时的工艺则作了必要的删节，成为一本目前适用的热处理工具书，这必将对机械工业提高产品质量，发展新产品起到应有的作用。

前　　言

1972年受一机部的委托，由原一机部机械研究院组织了全国各地44个工厂、高校、科研单位的一百余位工程技术人员开始编写和审定我国自编的第一部综合性的热处理专业手册。出版后，深受广大读者欢迎。

手册第一版的编写与出版毕竟是在特殊历史条件下完成的。由于种种条件的限制和在编写思想上的束缚，有许多不尽如人意之处，加之近十余年来热处理技术的飞速发展，手册第一版的许多内容已使人感到过时和陈旧。因此，根据机械工业出版社的倡议，中国机械工程学会热处理专业学会第二届第三次理事会决定，组成手册编辑工作委员会开展对《热处理手册》重新编写和修订工作。由于参加第一版编写人员的工作性质和单位多有变化，只得重新组织手册第二版的编写工作班子。经过本行业多方面的专家五十多人，近四年的共同努力，完成了四卷书稿的编写和审定工作。

本版的主要读者对象明确规定为从事热处理生产的工程技术人员，编写的指导思想是以总结国内先进生产实践经验和科研成果为主，同时吸收国外先进技术，所列数据和选用资料必须具有实用性、可靠性、科学性和先进性。本版和第一版相比在以下方面作了一系列重要调整和改动。

1. 第一卷为“工艺基础”，针对本版规定的读者对象，这一卷的提纲重新进行了编排，删去了一些不必要的原理内容，增添了“加热”一章；把钢的化学热处理分为“奥氏体状态”和“铁素体状态”化学热处理；增加了“表面热处理”和“其它热处理”的份量，把原来“磁性和弹性合金的热处理”扩大为“功能合金的热处理”，使手册内容更符合“实用性”和“先进性”的要求。

2. 在第二卷“典型零件的热处理”中，除合理调整原有各章内容外，增加了“飞机零件的热处理”和“手表、自行车、缝纫机和纺织机械零件的热处理”两章，在各章内容中对于零件的热处理畸变和控制给予了足够的重视。举出的例子不是照搬某厂的现行工艺，而是通过分析比较国内外先进工艺而优选出来的。

3. 在第三卷“热处理设备”中把电阻炉，尤其是真空热处理炉和可控气氛发生设备作为重点，增补了热处理质量的自动控制和检测的内容，对表面热处理、离子热处理、高密度能热处理和表面沉积设备也给予了必要的重视，增加了不少近代先进设备类型，在车间设计一章中增补了近代的设备设计思想和方法。

4. 第四卷为“热处理质量控制与检验方法”。从第一版的以质量检验方法为主，改为以质量控制为中心，增添了“热处理质量管理与控制”一章。把“钢的火花鉴别”一章扩大为“金属材料化学成分检验与鉴别”，把“宏观和微观组织检验”分为“宏观”和“微观”两章。在“力学性能试验”和“相变相分析方法”等章节中补充了大量近代的先进方法。把原附录中的部分有关数据作了大量补充、编排与处理之后专门增列为一章，更便于读者查考。

由此可见，手册第二版实际上绝大部分内容是重新编写，而不是简单的修改补充，因而其内容将更为先进和实用，对生产、科研和教学一定会起到更大的作用。

《热处理手册》编辑工作委员会是一个常设机构。按照热处理专业学会第二届第三次理事扩大会议决议，手册将一版一版地修订下去，不断修改过时落后的内容，补充最新的实践经验和科研成果，使《热处理手册》永远保持为推动热处理生产技术不断进步的有力手段。

为了明确对所编写内容的责任和对编写者劳动的承认，编委会决定第二版在每卷各章署上编写者单位和作者姓名。第一版由于历史原因，未列出编写者姓名，只有编写单位名称，编写第二版时又大多易人，为了弥补这一缺陷，编委会决定将参加第一版编写的人员名单列于下：

第一版全书主编 孙大涌 副主编 樊东黎 雷廷权

第四分册编写负责人 冉启方 樊东黎

编写人员 宋德生 舒文芬 桂立丰 李晋 朱沅浦 罗启富 王琼礼 汤锡斌

樊东黎 朱森第 张洛辉 冉启方 陈祝年 华惠中 徐克薰 莫志雄

火树鹏

手册的编写得到了机电部科技司、机电部机械科学研究院、机电部北京机电所、机电部机械情报所和机械工业出版社各级领导和有关同志的大力支持，在此一并致谢。

一些为手册第一版尽过力的同志，因时隔过久难免漏记，编委会对这些同志诚挚地致歉，并恳请鉴谅。

中国机械工程学会热处理专业学会

《热处理手册》第二版编委会

目 录

序

前言

常用符号名称对照表

第一章 金属材料化学成分检验 1

第一节 钢铁材料的火花鉴别.....	1
一、火花组成、形状及形成原因.....	1
二、火花检验用设备及操作注意事项.....	2
三、碳钢火花特征.....	3
四、合金元素对火花特征的影响.....	4
第二节 光谱分析.....	9
一、光谱分析原理及应用.....	9
二、荧光X-射线分析	11
三、激光显微光谱分析.....	12
第三节 微区化学成分分析.....	13
一、电子探针X-射线显微分析	14
二、俄歇电子能谱技术.....	19
三、离子探针显微分析.....	22
参考文献.....	25

第二章 宏观组织检验及断口分析 26

第一节 宏观检验.....	26
一、钢的酸蚀检验.....	26
二、印痕法检验.....	33
三、液体渗透着色法.....	33
第二节 断口分析.....	36
一、断口试样的选择.....	36
二、断口试样的清洗.....	39
三、断口试样的保存.....	42
第三节 宏观断口分析.....	42
一、断口分类.....	42
二、各类断口形貌特征.....	45
三、裂纹源位置及裂纹扩展方向的 判别.....	49
第四节 显微断口分析.....	50
一、显微断口分析方法.....	50
二、断口显微形貌特征.....	51

三、断口显微形貌与显微组织关系.....	53
四、断口的典型显微形貌特征举例.....	56
参考文献.....	59

第三章 显微组织分析 60

第一节 金相试样的制备和显示.....	60
一、取样.....	60
二、制样.....	60
三、显微组织的显示.....	65
第二节 金相显微镜.....	73
一、金相显微镜的主要构件.....	73
二、显微镜的鉴别率及有效放大倍数.....	75
三、显微镜的工作方式.....	76
四、高温和低温金相显微镜.....	82
第三节 定量金相方法.....	84
一、定量金相用的标准符号及其基本 公式.....	84
二、测量方法.....	85
三、常用显微组织特征参数测定举例.....	86
四、定量金相中的统计分析.....	93
五、图象分析仪.....	94
第四节 显微组织的分析与评定.....	95
一、钢热处理后的显微组织鉴别.....	95
二、钢的显微缺陷检验.....	106
三、钢中非金属夹杂物的检验.....	108
四、化学热处理的层深测定.....	111
五、灰铸铁的组织检验.....	112
六、常用有色金属的组织分析.....	115
七、粉末冶金材料的显微组织检验.....	118
第五节 电子金相显微分析.....	120
一、透射电子显微镜的结构原理及成 像原理.....	120
二、透射电子显微镜的样品制备.....	121
三、透射电子显微镜在显微检验中的 应用.....	122
四、扫描电子显微镜在显微检验中的 作用.....	126
参考文献.....	126

第四章 力学性能试验	128	三、常用结构钢、球铁及热处理的疲劳性能	198
第一节 硬度试验	128	四、低周疲劳	201
一、硬度试验的意义及分类	128	五、多次冲击抗力试验	202
二、布氏硬度试验法	128	六、疲劳裂纹萌生和扩展的性能	204
三、洛氏硬度试验法	133	七、疲劳试验技术	206
四、维氏硬度、显微硬度和努氏硬度试验	137	八、疲劳试验机	209
五、肖氏硬度试验法	144	第七节 磨损试验	212
六、莫氏硬度试验	145	一、磨损分类	212
七、理氏硬度试验	145	二、磨损试验机	216
八、硬度与强度及各种硬度之间的换算关系	147	三、磨损量的测量及表示方法	217
第二节 静拉伸试验	152	第八节 高温力学性能试验	218
一、静拉伸试验的特点与意义	152	一、高温蠕变	218
二、试样	152	二、松弛稳定性	222
三、拉力试验机	153	三、其它高温力学性能	226
四、应力-应变曲线及其力学性能指标	155	参考文献	229
五、真实应力-应变曲线	159		
六、缺口拉伸与缺口偏斜拉伸试验	160		
七、低温拉伸试验	162		
八、拉伸试样断口分析	162		
九、几种常用钢材的静拉伸数据	164		
第三节 压缩、弯曲及扭转试验	164		
一、压缩试验	165		
二、弯曲试验	166		
三、静扭转试验	167		
第四节 冲击试验	169		
一、冲击试验的意义	169		
二、冲击试验与冲击试验机	169		
三、冲击试验的应用	171		
四、几种接近实际服役条件的冲击试验	175		
第五节 断裂韧性试验	179		
一、断裂过程和断裂力学的一般概念	179		
二、应力强度因子K和平面应变断裂韧度K_{Ⅰc}	179		
三、裂纹尖端张开位移CTOD和J积分	188		
四、断裂韧度测试技术	191		
第六节 疲劳试验	195		
一、疲劳失效特点	195		
二、疲劳曲线及疲劳极限	196		
第五章 无损检测	231		
第一节 内部缺陷检测	231		
一、射线探伤	231		
二、超声波探伤	242		
第二节 表层缺陷检测	254		
一、磁粉探伤	254		
二、渗透探伤	261		
三、涡流探伤	264		
第三节 无损检测缺陷新技术简介	269		
第四节 零件热处理质量及材料的无损检测	270		
一、硬度的无损检测	270		
二、表面硬化层深度的无损检测	276		
三、力学性能、显微组织的无损检测以及过程的无损监控	280		
参考文献	285		
第六章 内应力的测定	287		
第一节 内应力的产生及影响因素	287		
一、宏观应力的产生	287		
二、热处理引起的宏观残余应力	288		
三、热处理残余应力对性能的影响	290		
第二节 宏观残余应力的测试方法	290		
一、宏观残余应力	290		
二、钻孔法	294		
三、X-射线法	305		

第三节 微观和超微观应力的测定方法	317	八、材料及热处理与腐蚀的关系	361
一、微观应力的测定方法	317	九、金属腐蚀分类	362
二、超微观应力的测定方法	321	第二节 局部腐蚀	363
参考文献	323	一、小孔腐蚀	363
第七章 析分析及相变过程试验	324	二、晶间腐蚀	365
第一节 合金的相分析	324	三、缝隙腐蚀	366
一、X-射线相分析法	324	四、双金属腐蚀(或电偶腐蚀)	367
二、电子衍射相分析法	327	第三节 应力作用下的腐蚀破坏	367
三、中子衍射	330	一、应力腐蚀破坏	367
四、样品制备	331	二、腐蚀疲劳	373
第二节 相变点及膨胀系数的测定	332	三、氢致损伤	375
一、膨胀系数和临界点的测定	332	第四节 不同环境中的腐蚀	379
二、马氏体相变Ms点的测定	335	一、大气腐蚀	379
第三节 奥氏体等温转变与连续冷却转		二、淡水中的腐蚀	382
变曲线的测定	336	三、熔盐腐蚀	383
一、奥氏体等温转变曲线的测定	336	第五节 高温氧化	383
二、用膨胀法测定钢的连续冷却转变		一、特点	383
曲线	340	二、钢铁材料的高温氧化	384
第四节 残余奥氏体及弱磁性相的测量	342	三、高温氧化试验	384
一、金相法和磁性金相法测残余奥氏		参考文献	385
体量	342		
二、磁性法测残余奥氏体量	342		
三、X-射线衍射法测残余奥氏体量	343		
四、用磁秤法测弱磁性相的磁化率和			
奥氏体钢中的铁素体相	345		
第五节 其他物理方法在相分析及相变			
中的应用	346		
一、内耗法	346	第九章 热处理质量管理与控制	386
二、正电子湮没技术	347	一、热处理与质量管理的关系	386
三、穆斯堡尔(Mössbauer)效应	348	二、热处理技术标准化与质量管理	386
四、核磁共振	350	三、热处理质量保证体系	387
参考文献	351		
第八章 金属腐蚀试验	353	第一节 产品设计中的热处理质量控制	390
第一节 概述	353	一、材料选择	390
一、金属腐蚀定义	353	二、热处理技术要求的确定	390
二、金属腐蚀的电极电位	353	第二节 热处理工艺设计中的质量控制	392
三、极化及极化曲线	354	一、热处理工艺流程及规范的优化设	
四、钝化	355	计	392
五、金属腐蚀图(E-pH图)	356	二、热处理技术文件	394
六、金属腐蚀速率评定方法	357	三、热处理工艺设计的经济分析	397
七、影响腐蚀速率的因素	358	第三节 原材料质量管理	399
		第四节 热处理工艺过程中的质量管理	400
		一、数理统计法在工序质量控制中的	
		应用	400
		二、建立工序管理点进行工序控制	404
		三、车间设备管理	405
		四、车间节能管理	407
		五、工艺材料的管理	407
		第五节 热处理质量检验	407
		一、质量检验工作的职能	408

二、质量检验方式	408	度(°C)	451
三、常用热处理质量检验方法	408	第三节 常用钢牌号、化学成分及性能	451
四、质量检验与失效分析	410	一、我国钢号表示法、分类、标记	451
第六节 计算机在质量管理中的应用	414	二、国产常用钢种化学成分	456
一、热处理工艺过程的控制	414	三、常用钢种力学性能技术要求	471
二、质量检验	415	第四节 中外钢铁标准、钢号对照	474
三、质量档案及质量信息检索	416	一、国家名称、代号	474
四、质量分析	416	二、拉丁字母与俄文标准钢号字母对照	475
五、数据库的应用	416	三、世界各国标准级别名称、代号	475
参考文献	418	四、常用钢号对照表	476
第十章 常用数据	419	五、世界各国主要钢铁企业名称、代号	486
第一节 基本常数及常用物理量单位换算	419	第六节 常用钢热处理工艺参考数据	487
一、基本常数及其单位换算	419	一、常用钢临界温度、锻造温度、热处理工艺参数	487
二、常用物理量单位换算	420	二、常用钢奥氏体等温转变曲线	492
第二节 常用物理化学数据	428	三、常用钢奥氏体连续冷却转变曲线	514
一、元素周期表	428	四、常用钢改型连续冷却曲线	528
二、钢铁冶金工作者用周期表	430	五、常用钢淬透性曲线	552
三、常见碳化物和金属间化合物点阵结构	430	六、常用钢在各种介质中淬火的临界直径	576
四、某些简单金属晶体原子位置、原 型、结构符号、空间群标记和点 阵参数	430	七、淬火钢在不同温度回火后的力学 性能曲线	577
五、元素的物理化学性质	438	第六节 各国常用热处理标准索引	612
六、常用无机化合物物理化学性质	441	参考文献	615
七、常用有机化合物物理化学性质	444	附录 法定计量单位及常用物理量的 法定计量单位	617
八、某些国产钢铁材料物理化学性质	445	一、法定计量单位	617
九、非铁金属、合金热物理性质	446	二、常用物理量的法定计量单位	618
十、特殊用途金属、合金热物理性质	448	索引	623
十一、元素的饱和蒸汽压对应的温度 (°C)	449		
十二、氧化物饱和蒸汽压所对应的温			

常用符号名称对照表

符号	名 称	单 位	符 号	名 称	单 位
A	奥氏体		CVN	夏比 V型试样冲击吸收功	J
a	1. 厚度 2. 面积 3. 点阵常数 4. 裂纹长度 或 半 长度 5. 年	mm, cm mm ² , cm ² A mm	D d d	1. 外径 2. 扩散系数 1. 直径 2. 内径 1. 滴 2. 天	mm, cm m ² /s mm, cm mm, cm
Ac ₁	加热下临界点	°C	E	1 正弹性模量	MPa(\approx 0.1kgf/mm ²)
Ac ₃	亚共析钢加热上临 界点	°C		2. 腐蚀电位 或 电 极电位	V
Ac _{cm}	过共析钢加热上临 界点	°C		标准电极电位	V
A _x	冲击吸收功(冲击 功)	J(\approx 0.1kgf·m)	E ₀	铁素体	
ax	冲击韧度(冲击值)	J/cm ² (\approx 0.1kgf·m/cm ²)	F f	面积, 试样截面积 挠度	mm ² , cm ² mm
Ar ₁	冷却下临界点	°C	G	切变模量	MPa(\approx 0.1kgf/mm ²)
Ar ₃	亚共析钢冷却上临 界点	°C	G	石墨	
Ar _{cm}	过共析钢冷却上临 界点	°C	H	1. 磁场强度	A/m(\approx $\frac{4\pi}{1000}$ Oe)
B	贝氏体			2. 高度	mm, cm
B	磁通量密度(磁感 应强度)	T(特斯拉) \approx 10 ⁴ Gs		3. 腐蚀速率	
B或 b	宽度	mm, cm	h	高度	mm, cm
B _上	上贝氏体		h	小时	
B _下	下贝氏体				
B _r	剩余磁感	T(特斯拉) \approx 10 ⁴ Gs	H ₀	矫顽力	A/m(\approx $\frac{4\pi}{1000}$ Oe)
B _s	1. 贝氏体转变开 始点 2. 饱和磁感	°C T(特斯拉) \approx 10 ⁴ Gs	H _m	达到饱和磁感应强度 时的磁场强度	A/m(\approx $\frac{4\pi}{1000}$ Oe)
C	碳化物		HB	布氏硬度值	
c	比热容	J/(kg·K)	HE	氢脆	
C _p	腐蚀疲劳		HK	努氏硬度值	
C _p	定压比热容	J/(kg·K)	HL	里氏硬度	
C _v	定容比热容	J/(kg·K)	HRA	洛氏 A 标度硬度值	
CCT曲线	奥氏体连续转变曲 线		HRB	洛氏 B 标度硬度值	
CTOD	裂纹尖端张开位移	mm	HRC	洛氏 C 标度硬度值	
			H _s	肖氏硬度值	

(续)

符号	名 称	单 位	符 号	名 称	单 位
HV_{xx}	维氏硬度值, 后注数字为载荷千克数		q_0	疲劳试样缺口敏感系数	
HM	莫氏硬度		R	1. 半径	mm, cm
Hm	显微硬度值, 也可用 HV_{xx} 表示			2. 电阻	Ω
J	J积分值	$\text{kJ}/\text{m}^2, \text{MN}/\text{m}$	r	转数	
$J_{I\sigma}$	延性断裂韧度	MN/m	r	半径	mm, cm
K	应力强度因子	$\text{MPa} \cdot \text{mm}^{1/2} (\approx 0.1 \text{kgf}/\text{mm}^{3/2})$	RE	稀土族元素	
K_{Iscc}	应力腐蚀破坏临界应力强度因子	$\text{MPa} \cdot \text{mm}^{1/2} (\approx 0.1 \text{kgf}/\text{mm}^{3/2})$	S	索氏体	mm^2, cm^2
K_c	平面应力断裂韧度	$\text{MPa} \cdot \text{mm}^{1/2} (\approx 0.1 \text{kgf} \cdot \text{mm}^{-3/2})$	s	面积	MPa
K_{ic}	平面应变断裂韧度	$\text{MPa} \cdot \text{mm}^{1/2} (\approx 0.1 \text{kgf} \cdot \text{mm}^{-3/2})$	SCC	真应力	
K_f	疲劳试样缺口系数		S_K	秒	MPa
ΔK_{Ic}	应力强度因子门槛值	$\text{MPa} \cdot \text{mm}^{1/2} (\approx 0.1 \text{kgf} \cdot \text{mm}^{-3/2})$	T	真实抗拉强度	
K_o	应力集中系数		T	应力腐蚀破坏	
L	1. 液态相 2. 莱氏体 3. 升	dm^3	t_K	真实破断应力	MPa
L	长度	mm, cm, m	T	托氏体	
l	长度, 试样长度	mm, cm	TTT曲线	1. 温度	K, °C
l	2. 升	dm^3	U _T	2. 扭矩	N·m ($\approx 0.1 \text{kgf} \cdot \text{m}$)
M	马氏体		V	温度	°C, °F
M	作用在试样上的扭矩	N·mm	V	温度	1t = 1000kg
m	米		v	奥氏体等温转变曲线	
m	齿轮模数			静力韧度	V
Md	形变诱发马氏体转变开始点	°C	W	电压	
Me	金属元素			体积	$\text{cm}^3, \text{m}^3, \text{mm}^3, \text{L}$
Mf	马氏体转变终止点	°C	v _o	速度	m/s, km/h
min	分		W	2. 加热速度	°C/h, °C/min, °C/s
Ms	马氏体转变开始点	°C		蠕变速率	%/h
N	循环次数			1. 功率	W, kW
n	1. 转速 2. 介质折射系数	r/min, r/s, r/h		2. 宽度	mm, cm
N.A	物镜数值孔径			3. 磨损量	$\mu\text{g}, \mu\text{m}$
P	珠光体		Y	挠曲量	
P	1. 外加载荷 2. 孔蚀速率	MPa	a	α相	
p	压强	N($\approx 0.1 \text{kgf}$)	β	1. β相	
			γ	2. β射线	
				1. γ相	
				2. γ射线	
			γ	切应变	$\text{mm}/\text{mm}, \%$
			δ	δ相	
			δ	1. 伸长率	%
				2. 厚度	mm, cm
			δ _s	5倍试样的伸长率	%

(续)

符号	名 称	单 位	符号	名 称	单 位
δ_{10}	10倍试样的伸长率	%	σ_b	抗拉强度	MPa
ϵ	ϵ 相		σ_{bb}	抗弯强度	MPa
ϵ	1. 真应变 2. 相对缩短率	mm/mm, %	σ_{bo}	抗压强度	MPa
$\dot{\epsilon}$	蠕变应变速率	%	σ_e	弹性极限	MPa
η	形变硬化指数		σ_f	1. 齿根弯曲应力 2. 断裂强度	MPa
λ	1. 导热系数 2. 波长	W/(m·°C) Å, μm, cm	σ_H	齿面最大接触应力	MPa
μ	磁导率	H/m	σ_m	平均应力	MPa
$\mu(v)$	泊松比		σ_N	循环周次为N时的疲劳强度	MPa
μ_m	微米		σ_p	比例极限	MPa
ρ	1. 密度 2. 电阻系数	kg/m³ Ω·m	σ_s	屈服强度, 屈服点	MPa
σ	σ 相	MPa	τ	1. 切应力 2. 时间	MPa s, min, h
σ_a	应力, 强度	MPa	τ_p	扭转比例极限	MPa
σ_{a_1}	应力半幅	MPa	$\tau_{0.3}$	扭转屈服强度	MPa
σ_{-1}	光滑试样对称旋转弯曲试验时的疲劳极限	MPa	τ_K	扭转强度极限, 抗扭强度	MPa
σ_{-1a}	缺口试样对称旋转弯曲疲劳极限	MPa	ϕ	直径	mm, cm
$\sigma_{0.2}$	永久变形为0.2%时的屈服强度(条件屈服极限)	MPa	\times	放大倍数	
			ψ	断面收缩率	%

第一章 金属材料化学成分检验

机电部上海材料研究所 唐汝钧 ⊖

金属热处理时，首先应当知道材料的化学成分。测定化学成分的方法很多，其中钢的火花鉴别及光谱分析是钢材成分检验过程中常用的方法。这两种方法都很简便，分析速度快，适合于热处理车间现场使用。

火花鉴别虽然是一种古老的方法，然而由于方法简便易行，火花特征不受热处理工艺影响，所以在热处理车间长期、广泛应用。

光谱分析方法速度快，灵敏度高，但是测定钢中轻元素(例如H、N、O、C等)比较困难。光谱分析仪有两种，大型光谱分析仪在中心实验室使用，手提式小型光谱分析仪在热处理车间使用。

零件的表面，局部或微区化学成分的测定可以用现代的俄歇电子能谱仪，离子探针，电子探针等方法。用剥层分析法可测定表层成分。

第一节 钢铁材料的火花鉴别

一、火花组成、形状及形成原因

火花检验适用于碳钢，合金钢及铸铁，能鉴别出钢中常见的合金元素，但是对S、P、Cu、Al、Ti等元素则无法看出火花特征。

火花束由流线，节点与葩花、爆花和尾花等组成。

流线：磨削颗粒在高温下运行的轨迹就是人们看到的流线。流线分为：直线型，断续型，波纹型和断续波纹型。其中波纹型不常见，铬钢，钨钢，高合金钢和灰铸铁的火花流线均呈断续型。图4-1-1是流线特征。

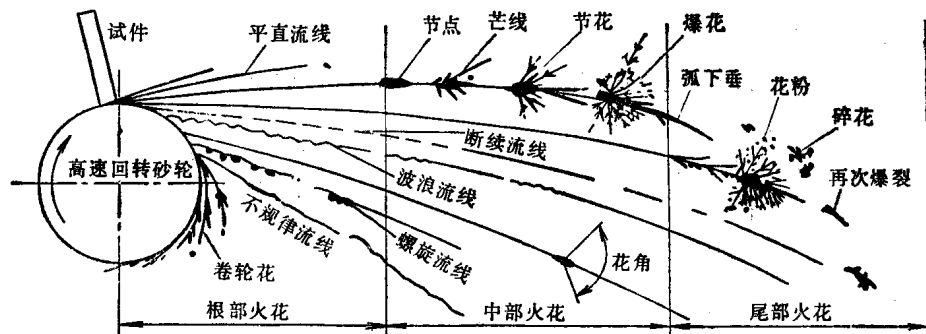


图4-1-1 各种火花流线形状

⊖ 本章第二节由李晋同志编写。

节点与苞花：流线上明亮而又较粗的点称为节点和苞花。节点是钢中含Si的特征，苞花是钢中含Ni的特征。

爆花：爆花在流线上，是钢中含碳元素所特有的火花特征。爆花形象随钢中含碳量而变化，在火花鉴别中占有重要地位。

爆花的形成，钢样磨削颗粒沿砂轮旋转的切线方向被抛射，磨削颗粒处于高温状态，表面被强烈氧化，形成一层FeO薄膜。钢中的碳在高温下极易与氧发生反应， $\text{FeO} + \text{C} \rightarrow \text{Fe} + \text{CO}$ ，使FeO还原；被还原的Fe将再次被氧化，然后再次还原；这种氧化-还原的循环进行，当颗粒表面的氧化铁薄膜不能约束反应生成的CO气体时，就有爆裂现象发生，粉碎的微粒外逸时的火花称为“爆花”。钢粒经一次爆裂后，在碎粒中若仍残留有未参加反应的Fe和C时，将继续发生反应，则出现二次，三次等多次爆花，如图4-1-2。

爆花爆裂而产生的若干聚集的短流线称为“芒线”。随钢中碳量增加，芒线又有二根分叉，三根分叉，四根分叉及多根分叉的不同。

尾花：尾花是流线末端特征，有“狐尾尾花”和“枪尖尾花”两种。狐尾尾花常认为是钢中含钨的特征，其亮度与粗细程度较流线其它部位明亮和粗。狐尾尾花的数量及长度与钢中含钨量成反比关系。

枪尖尾花，一些资料介绍是含钼钢的火花特征，实践证明，枪尖尾花不是钼钢火花的专有特征，许多不含钼的钢有时也有枪尖尾花，而有些含钼钢火花中却看不到枪尖尾花。所以只是一部分含钼钢中出现枪尖尾花。

流线与爆花的色泽（颜色的明暗）表明钢粒运行时的温度。温度越高，火花越明亮（呈黄白及亮白色），反之火花深暗（呈暗红色）。钢粒热量不仅与CO形成有关，还与钢中合金元素含量，钢粒氧化性能及氧化程度有关。

二、火花检验用设备及操作注意事项

(一) 砂轮及标样

可选用手提式电动砂轮，也可用台式砂轮，手提砂轮携带方便，且可以使火花的花束散开，以观察单条火花形象。台式砂轮出来的火花与人的视角不相适应，较不方便。

砂轮功率手提式为0.1~0.3kW，台式为0.5~1.0kW，转速3000r/min，砂轮片为普通

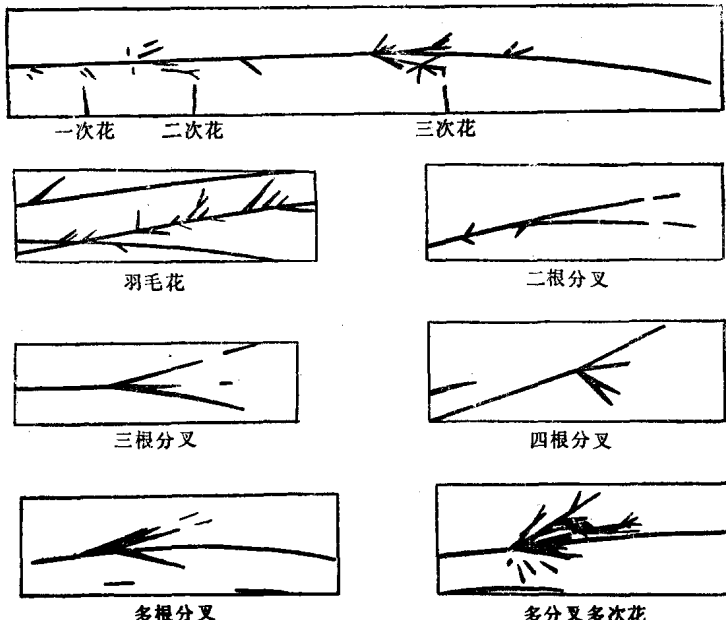


图4-1-2 爆花的各种形式

氧化铝质，不宜使用碳化硅或白色氧化铝。手提式砂轮直径100~150mm，厚度15~20mm；台式砂轮直径200~250mm，厚度20~25mm。粒度46~60，中等硬度。

可备有系列碳钢及典型合金钢标样，作为校核之用。

(二) 操作注意事项

1) 工作场地应有一定亮度，但又不能太亮，也不能太暗。白天可在室内光线不太明亮处，夜晚应在稍暗的灯光下工作。这样能减少火花对眼睛的刺激，又能清晰辨别火花形状与色泽。

2) 工作压力要适中，注意手感力并与火花结合。

3) 检验含碳量较高的钢火花时应利用单一流线火花形象，以观察多次火花爆裂特征，可较准确地判断钢的含碳量。

三、碳钢火花特征

钢的火花检验是以碳钢为基础，再考虑加入合金元素的影响。碳钢火花特征如表4-1-1，主要考虑流线长短，粗细及色泽；爆花数量多少等。纯铁火花流线短而粗，量较少，无爆花。随纯度的不同，纯铁花束中有时也杂有二、三分叉，但强度较弱，角度较小，爆花芒线较细，如图4-1-3。

表4-1-1 碳钢火花特征

C%	流 线					爆 花				磨砂轮时 手的感觉
	颜色	亮度	长度	粗细	数量	形状	大小	花粉	数量	
0	亮黄	暗	长	粗	少	无	爆 花			软
0.05						二根分叉	小	无	少	
0.1						三根分叉		无		
0.2						多根分叉		无		
0.3						二次花多分叉		微量		
0.4						三次花多分叉	↓	稍多		
0.5		↓亮	↓长	↓粗			大			
0.6										
0.7										
0.8										
0.8以上	黄橙	暗	短	细	多	复杂	↓小	↓多量	↓多	硬

含碳量0.05%~0.10%的碳钢，其流线较粗，呈弧形，长度中等，数量较少，具有草黄带红的色泽；爆花数量少，呈现三、四分叉的一次花形式，爆裂强度较弱，爆花位于流线的中尾部之间，流线与爆花清晰无杂乱现象。芒线粗且长，如图4-1-4、图4-1-5。

含碳量0.15%~0.20%的碳钢，火花流线仍较粗，量多而稍长，略带弧形，整个火花束为草黄且带有微红色。在爆花的芒线上有明显的呈直线脱离的枪尖尾花，呈现一次多分叉单花形式，爆花角度较大，芒线粗长并有明亮的节点，不时地出现一、二枝二次爆裂的芒线，如图